

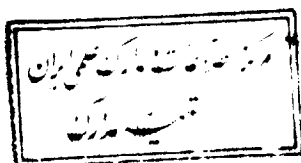


۱۹۸۴

پیوندھاں فلز - نیمہ ہادر .
ویز ٹیکھا و ٹار بر دھاں آنھا

دانلود فرودی مهر
محله شماره ۱۰۷

۱۳۷۸ / ۶ / ۲



عنوان پژوهش: پیوندهای فلز-نیمه‌هادی، ویژگیها و کاربردهای آنها

پژوهشگارشناسی ارشد: سید مهدی بیضایی

استاد راهنمای: دکتر سید حسین کشمیری

استاد مشاور: دکتر ناصر شاه طهماسبی

هیات داوران: دکتر محمد مهدی اسکویی تبریزی (دانشگاه صنعتی شریف)،
دکتر ناصر شاه طهماسبی (دانشگاه فردوسی مشهد)،
دکتر ناصر تجرب (دانشگاه فردوسی مشهد)،
دکتر سید حسین کشمیری (دانشگاه فردوسی مشهد).

ارائه در تاریخ: دهم آبانماه هزار و سیصد هفتاد و چهار

محل انجام پژوهش: دانشگاه فردوسی مشهد، دانشکده علوم، آزمایشگاه تحقیقاتی

میکروالکترونیک

۱۷۴۰/۲

تقدیم به :

پدر و مادر عزیزم که در تمام مراحل زندگی
برایم مشوقی مهربان و معلمی دلسوز بوده‌اند.

پیشگفتار:

با توجه به پیشرفت‌های روزافزون تکنولوژی نیمه‌هادیها و مدارهای تجمعی اهمیت اتصالات فلز-نیمه‌هادی روز به روز بیشتر می‌شود. با وجود سابقه طولانی تحقیق در زمینه پیوندهای فلز-نیمه‌هادی، مطالعات زیادی در دهه اخیر صورت گرفته است که نشانده‌ند اهمیت کاربردی آنها در تکنولوژی جدید قطعات نیمه‌هادی می‌باشد. در این پژوهه سعی شده تمام نظریه‌های اصلی، در مورد پیوندهای فلز-نیمه‌هادی با توجه به روند تاریخی آنها ارائه شده و نقایص هر نظریه مشخص شود.

به طور کلی در سه فصل اول فیزیک پیوندهای سد شاتکی که خاصیت یکسوسازی دارند به تفصیل مورد بحث قرار گرفته‌اند. در فصل چهارم اهمیت و نقش حالت‌های سطحی با بیانی دقیق‌تر برای پیوندگاه‌های فلز-نیمه‌هادی و فلز-عایق-نیمه‌هادی بررسی شده است در فصل پنجم مواد مورد استفاده در پیوندهای فلز-نیمه‌هادی و مراحل ساخت دیودهای سد شاتکی آورده شده است. در فصل ششم کاربردهای متعدد پیوندهای فلز-نیمه‌هادی سد شاتکی شرح داده شده و در فصل هفتم نتایج کارهای انجام شده در این پژوهه ارائه شده است.



سپاسگذاری:

از اساتید محترم، آقایان دکتر محمد مهدی اسکویی تبریزی، دکتر ناصر شاه طهماسبی، دکتر ناصر تجبر و دکتر سید حسین کشمیری که زحمت مطالعه این پایان نامه و حضور در جلسه دفاعیه را پذیرفتند سپاسگذارم. از استاد عزیزم جناب آقای دکتر سید حسین کشمیری که برای من معلمی دلسوز و متعهد و مشوقی مهربان بودند کمال تشکر و سپاسگذاری را دارم و از خداوند متعال، موفقيت و بهروزی ايشان را در تمام زمينه های علمی و تحقیقاتی و رسيدن به اهداف عاليه شان را خواستارم.

از دوستان عزیزم، آقایان محمد مهدی باقری محققی، سعید صمدپور و حاجی علی که در تمام مراحل اين پروژه مرا ياري کردنده کمال تشکر را دارم.

باسمه تعالی

شماره صفحه

فهرست مطالب

فصل اول: پیوند فلز - نیمه هادی سد شاتکی

۱

۱-۱ مقدمه

۲

۱-۲ تابع کار و اثر شاتکی

۳

۱-۳ منشاء ارتفاع سد

۶

۱-۳-۱ تئوری شاتکی - موت پیوند فلز نیمه هادی ایده آل

۱۴

۲-۱-۳ اصلاحات تئوری شاتکی

۱۹

۴-۱ تقسیم بندی فصل مشترکهای فلز - نیمه هادی

۲۰

۴-۱-۱ فصل مشترکهای واکنشی

۲۱

۴-۲-۱ فصل مشترک با حضور لایه بین رویه ای و حالات سطحی

۲۵

۴-۲-۲ فصل مشترکهای تمیز فاقد لایه میانی

۲۹

فصل دوم: اندازه گیری ارتفاع سد

۳۰

۱-۱-۲ روش روش اندازه گیری ارتفاع سد

۳۰

۱-۱-۲ C-V روش

۳۱

۱-۲-۱ I-V روش

۳۲

۱-۳-۲ روش فتو الکترونیک

۳۲

۲-۱ نتایج اندازه گیری ارتفاع سد

۳۲

۲-۱-۲ ارتفاع سد سطوح تمیز شده

۳۴

۲-۲-۲ ارتفاع سد سطوح تمیز شده در خلاء

۳۵

۲-۳-۲ نتیجه گیری

۳۷

۲-۳ مشخصه ظرفیت - ولتاژ

۳۷	۱-۳-۲ میدان الکتریکی و توزیع پتانسیل در ناحیه تهی
۴۱	۲-۳-۲ ظرفیت ناحیه تهی سد شاتکی ایده‌آل
۴۴	۳-۲-۲ اثر حاملهای اقلیت
۴۵	۴-۲-۳-۲ اثر لایه بین رویه‌ای
۴۶	۵-۲-۳-۲ اثر تله‌های عمیق

فصل سوم: سازوکار عبور جریان از پیوندگاه فلز نیمه‌هادی

۴۹	۱-۳ سازوکارهای عبور جریان
۴۹	۱-۱-۳ پخش و گسیل گرمایونی
۵۵	۱-۲-۳ تونل زنی از میان سد
۵۹	۱-۳-۳ تولید و بازترکیب حاملها در ناحیه تهی
۶۰	۴-۱-۳ تزریق حامل اقلیت
۶۲	۲-۳ مشخصه‌های جریان مستقیم
۶۶	۳-۳ مشخصه‌های جریان معکوس
۶۸	۴-۳ رفتار حالت گذرا
۷۰	۵-۳ پیوند اهمی

فصل چهارم: حالات سطحی و فصل مشترک

۷۴	۱-۴ اثر حالات سطحی و مستقل بودن خواص یکسوسازی از تابع کار
۷۸	۲-۴ نقش حالات سطحی در ارتفاع سد
۸۲	۳-۴ توزیع حالات سطحی و فصل مشترک
۸۴	۴-۴ فازهای سوم و نقش حالات سطحی در آنها
۸۵	۵-۴ محاسبه چگالی حالت‌های سطحی

فصل پنجم: مواد و مراحل ساخت دیودهای سد شاتکی

۸۹	۱-۵ مقدمه
۹۰	۲-۵ انتخاب مواد نیمه‌هادی

۹۴	۳-۵ سیستمهای فلز-نیمههادی
۹۴	۱-۳-۵ سیستمهای فلز-سیلیکون
۹۹	۲-۳-۵ سیستمهای فلز-گالیم آرسنید
۱۰۱	۳-۳-۵ سیستمهای فلزی چند لایه‌ای
۱۰۲	۴-۵ تکنولوژی ساخت
۱۰۲	۱-۴-۵ آماده‌سازی سطح نیمههادی
۱۰۲	۲-۴-۵ جایگذاری لایه دی‌الکتریک
۱۰۵	۳-۴-۵ تشكیل پیوند اهمی
۱۱۰	۴-۴-۵ لیتوگرافی
۱۱۲	۵-۴-۵ روش‌های جایگذاری فلز
۱۱۴	۱-۵-۴-۵ تبخیر حرارتی و ستون الکترون
۱۱۸	۲-۵-۴-۵ اسپاترینگ
۱۲۳	۶-۴-۵ غیر فعال‌سازی
۱۲۴	فصل ششم: کاربردهای پیوندهای سد شاتکی

۱۲۵	۱-۶ مقدمه
۱۲۶	۲-۶ جذب نور در نیمههادی
۱۲۸	۳-۶ اثر فتوولتایی و بازده سلولی خورشیدی
۱۳۱	۴-۶ گزینش مواد و نکات مربوط به طراحی
۱۳۱	۱-۶ ملاحظات طیفی
۱۳۲	۲-۶ ملاحظات مربوط به مقاومتهای سری
۱۳۴	۳-۶ بازتاب سطحی
۱۳۴	۴-۶ تکنولوژیهای مختلف و ملاحظات مربوط به هزینه
۱۳۵	۵-۶ سلولهای خورشیدی MS و MIS سد شاتکی
۱۳۷	۶-۶ سلولهای خورشیدی SIS سد شاتکی
۱۳۸	۱-۶ سلولهای خورشیدی ITO/n-Si به روش ستون الکترون
۱۴۰	۲-۶ سلولهای خورشیدی ITO/Si به روش اسپاترینگ
۱۴۱	۳-۶ سلولهای خورشیدی ITO/Sio ₂ /Si به روش اسپری پایرولیزیز
۱۴۳	۷-۶ دیودهای نورگسیل LED MIS و SIS سد شاتکی

- ۱۴۴ ۶-۶ آشکارسازها و دیودهای نوری سد شاتکی
- ۱۴۶ ۶-۷ ترانزیستور کرانبند سد شاتکی

فصل هفتم : تایج کارهای انجام شده

- ۱۵۰ ۷-۱ مقدمه
- ۱۵۲ ۷-۲ بررسی پیوندهای فلزات مختلف با سیلیکون نوع n و p
- ۱۵۲ ۷-۲-۱ آماده سازی سطح سیلیکون
- ۱۵۳ ۷-۲-۲ ایجاد پیوند اهمی در پشت ویفرهای سیلیکون نوع n و p
- ۱۵۴ ۷-۲-۳ تهیه ماسک و برش زنی ویفرها
- ۱۵۵ ۷-۲-۴ جایگذاری فلزات مختلف
- ۱۵۷ ۷-۲-۵ اندازه گیری مشخصه I-V و محاسبه ارتفاع سد
- ۱۶۰ ۷-۲-۶ نتیجه گیری
- ۱۶۷ ۷-۳ ساخت سلولهای خورشیدی Au/SiO_x/n-Si
- ۱۶۷ ۷-۳-۱ مراحل مختلف ساخت
- ۱۶۸ ۷-۳-۲ اندازه گیری I-V و نتایج حاصله
- ۱۷۰ ۷-۴ ساخت سلولهای خورشیدی SIS
- ۱۷۱ ۷-۴-۱ سلولهای خورشیدی ITO/SiO_x/Si
- ۱۷۱ ۷-۴-۱-۱ آماده سازی سطح ویفر سیلیکون
- ۱۷۱ ۷-۴-۱-۲ اکسیداسیون
- ۱۷۱ ۷-۴-۱-۳ جایگذاری لایه هادی شفاف ITO
- ۱۷۴ ۷-۴-۱-۴ مراحل دیگر
- ۱۷۵ ۷-۴-۱-۵ تعیین ویژگیهای سلولهای ITO/SiO_x/n-Si
- ۱۷۸ ۷-۴-۲ ساخت سلولهای خورشیدی In_xO_y/SiO_x/p-Si
- ۱۷۸ ۷-۴-۲-۱ فرایندهای ساخت سلولهای خورشیدی In_xO_y/SiO_x/Si
- ۱۷۹ ۷-۴-۲-۲ ویژگیهای سلولهای بلوری In_xO_y/SiO_x/p-Si
- ۱۷۹ ۷-۴-۲-۳ ویژگیهای سلولهای چند بلوری In_xO_y/SiO_x/p-Si
- ۱۸۰ ۷-۴-۳ نتیجه گیری

۱۸۱

مراجع

پیوند فلز - نیمه هادی سد شاتکی

- ۱-۱ مقدمه
- ۱-۲ تابع کار و اثر شاتکی
- ۱-۳ منشاء ارتفاع سد
- ۱-۳-۱ تئوری شاتکی - موت پیوند فلز نیمه هادی ایده آل
- ۱-۳-۲ اصلاحات تئوری شاتکی
- ۱-۴ تقسیم بندی فصل مشترکهای فلز - نیمه هادی
- ۱-۴-۱ فصل مشترکهای واکنشی
- ۱-۴-۲ فصل مشترک با حضور لایه بین رویه ای و حالات سطحی
- ۱-۴-۳ فصل مشترکهای تمیز فاقد لایه میانی

پیوند فلز - نیمه‌هادی سد شاتکی

۱-۱ مقدمه

پیوند فلز - نیمه‌هادی که خاصیت یکسوسازی داشته باشد به نام پیوند سد شاتکی نامیده می‌شود. شاتکی اولین کسی است که مدلی برای تشکیل سد پتانسیل در محل پیوندگاه فلز - نیمه‌هادی ارائه کرد. دانش ما در مورد پیوندهای فلز - نیمه‌هادی به یک قرن قبل برمی‌گردد، اما با وجود این سابقه طولانی، هنوز نحوه عملکرد و رفتار این پیوندها به خوبی فهمیده نشده و بعضی از مفاهیم به صورت نادرست مورد استفاده قرار می‌گیرند. البته پیشرفت‌های اساسی و مهمی، در سالهای اخیر به وقوع پیوسته است.

دیودهای اتصال نقطه‌ای که در آنها یک سیم فلزی به شکل خاصی به سطح نیمه‌هادی پیوند داده شده، مدت‌ها به عنوان آشکارساز امواج رادیویی استفاده می‌شدند. این دیودها در دهه ۱۹۲۰ به وسیله دیودهای خلاء که کارایی بهتری دارند، جایگزین شدند. اما در طی جنگ جهانی دوم، دیود اتصال نقطه‌ای با کاربرد جدیدی در آشکارسازهای میکروموج تراز پائین و مبدل فرکانس دوباره مورد استفاده قرار گرفتند. سپس نوع دیگری از اتصال فلز - نیمه‌هادی که از جایگذاری لایه نازک فلزی روی سطح تمیز نیمه‌هادی ایجاد شد با دیودهای اتصال نقطه‌ای جایگزین گردید. این اتصالات ویرگیهای مطلوبتری داشتند و در حقیقت دانش کنونی ما مدیون مطالعات انجام شده

روی رفتار چنین پیوندهای فلز - نیمه‌هادی می‌باشد. اولین گام مؤثر در درک فرآیند یکسوسازی فلز - نیمه‌هادی توسط شاتکی برداشته شد. شاتکی و موت^(۱) نحوه تشکیل سد و مدلهایی برای محاسبه ارتفاع سد را ارائه کردند (۴۵ و ۴۶). سپس گام بزرگ دیگری توسط بت^(۲) با ارائه تئوری گسیل گرمایونی در رابطه با سازوکار عبور جریان از سد برداشته شد (۶۷). در دهه ۱۹۶۰ تحقیقات وسیعی روی دیودهای سد شاتکی انجام شد که بیشتر در جهت کاربرد آنها در تکنولوژی نیمه‌هادیها بود. از دهه ۱۹۷۰ به بعد تحقیقات در این زمینه در دو جهت پیشرفت کرد که یکی در جهت کارهای قبلی و استفاده از تجارب بدست آمده در صنعت و تولید تجاری قطعات نیمه‌هادی و دیگری در جهت کاملتر کردن تئوری فصل مشترک فلز - نیمه‌هادی بود. شرح جامعی از این کارها و تئوری پیوندهای فلز - نیمه‌هادی توسط هنیش^(۳) ارائه شده است (۷۱ و ۷۲).

در این فصل ابتدا تابع کار و اثر شاتکی را معرفی کرده و سپس با توجه به روند تاریخی، در بخش سوم، برای پی بردن به منشاء ارتفاع سد، تئوری شاتکی - موت را در مورد پیوند فلز - نیمه‌هادی ایده‌آل بررسی می‌کنیم. بعد اصلاحات تئوری شاتکی و همچنین فصل مشترکهای مختلف فلز - نیمه‌هادی و نقش آنها در سد پتانسیل را مورد بحث و بررسی قرار خواهیم داد.

۱-۲ تابع کار و اثر شاتکی

اختلاف انرژی بین تراز خلاء و تراز انرژی فرمی، تابع کار فلز نامیده می‌شود. به عبارت دقیقتر تابع کار یک فلز، ϕ_m ، به عنوان کمترین انرژی لازم برای جدا کردن یک الکترون از سطح فلز و رسانیدن آن به فضای آزاد در صفر مطلق تعریف شده است. تابع کار فلزات ϕ_m ، بسته به نوع فلز بین ۲ تا ۶ الکترون ولت تغییر می‌کند، مقادیر تابع کار، عموماً به شکل سطح و آلووگی سطحی خیلی

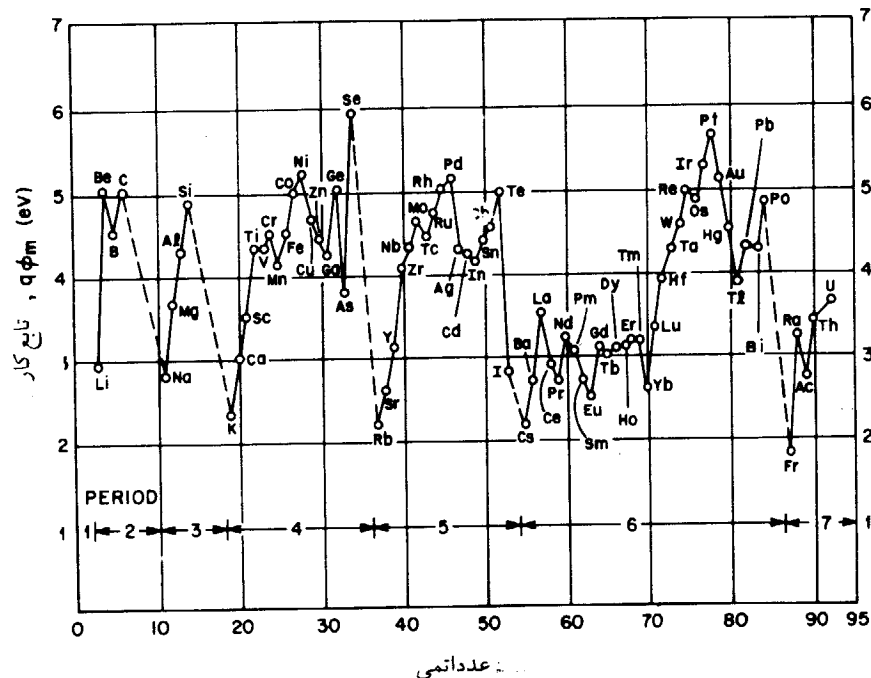
1. Schottky and Mott

2. Bethe

3. Henisch

وابسته هستند. در شکل ۱-۱ مقادیر تابع کار برای بعضی از عناصر داده شده است /۲/. در ضمیمه

(۱) هم مقادیر معتبری برای توابع کار عناصر مختلف با سطوح تمیز جمع آوری شده است /۳/.



شکل ۱-۱ تابع کار فلز با سطح فیلی تمیز بر حسب عدد اتمی رسم شده است و از شکل ماهیت تناوبی توابع کار در هر گروه جدول تناوبی مشفugen است /۲/.

احتمال کندن یک الکترون از سطح فلز به مؤلفه عمودی سرعت الکترون نسبت به سطح فلز

وابسته است. کمترین انرژی جنبشی برای کندن الکترون از سطح از رابطه زیر داده می شود.

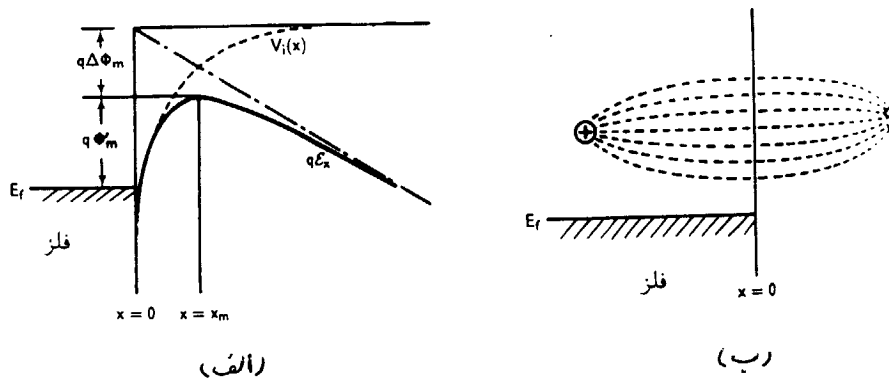
$$\frac{1}{\tau} (m_1 v^2) \geq q \phi_m$$

که v سرعت عمود بر سطح الکترون، و m جرم الکترون آزاد می باشد. اگر فلز در میدان الکتریکی

خارجی قرار داشته باشد، هنگام کندن الکترون از سطح فلز، آنچه که اثر شاتکی یا اثر پائین آوری

باید تصویری نامیده می شود، ظاهر می گردد. برای فهمیدن اثر شاتکی، نمودار نوار انرژی نشان داده

شده در شکل ۱-۲ را در نظر می گیریم.



شکل ۲ - ۱ اثر شاتکی در فصل مشترک فلام - فلز در حضور یک میدان الکتریکی خارجی:
 الف) نمودار در میدان خارجی ϵ_x ، پتانسیل تصویری V_i ، پتانسیل پائین آوری تصویر $\Delta\phi_m$ ،
 ب) بار تصویری القاء شده در داخل فلز.

وقتی که فلز در یک میدان الکتریکی خارجی قرار داشته باشد، الکترونها ی که از سطح فلز جدا می‌شوند، دو نیروی خارجی را احساس می‌کنند؛ یکی نیروی بار تصویری مثبت القاء شده در فلز و دیگری نیروی لورنتس میدان الکتریکی خارجی می‌باشد. نیروی جاذبه‌ای بارهای تصویری مثبت تمايل دارند الکترونها کنده شده راجذب کنند، که از رابطه زیر مقدار آن بدست می‌آید.

$$F_i = -\frac{q^2}{16\pi\epsilon_0 x^2} \quad (1-1)$$

انرژی پتانسیل این نیروی بار تصویری به صورت زیر است

$$V_i(x) = -\int F_i dx \quad (1-2)$$

و انرژی پتانسیل مربوط به میدان الکتریکی خارجی به صورت زیر تعریف می‌شود.

$$V_a(x) = -q\epsilon_x x \quad (1-3)$$